

FIG. 1

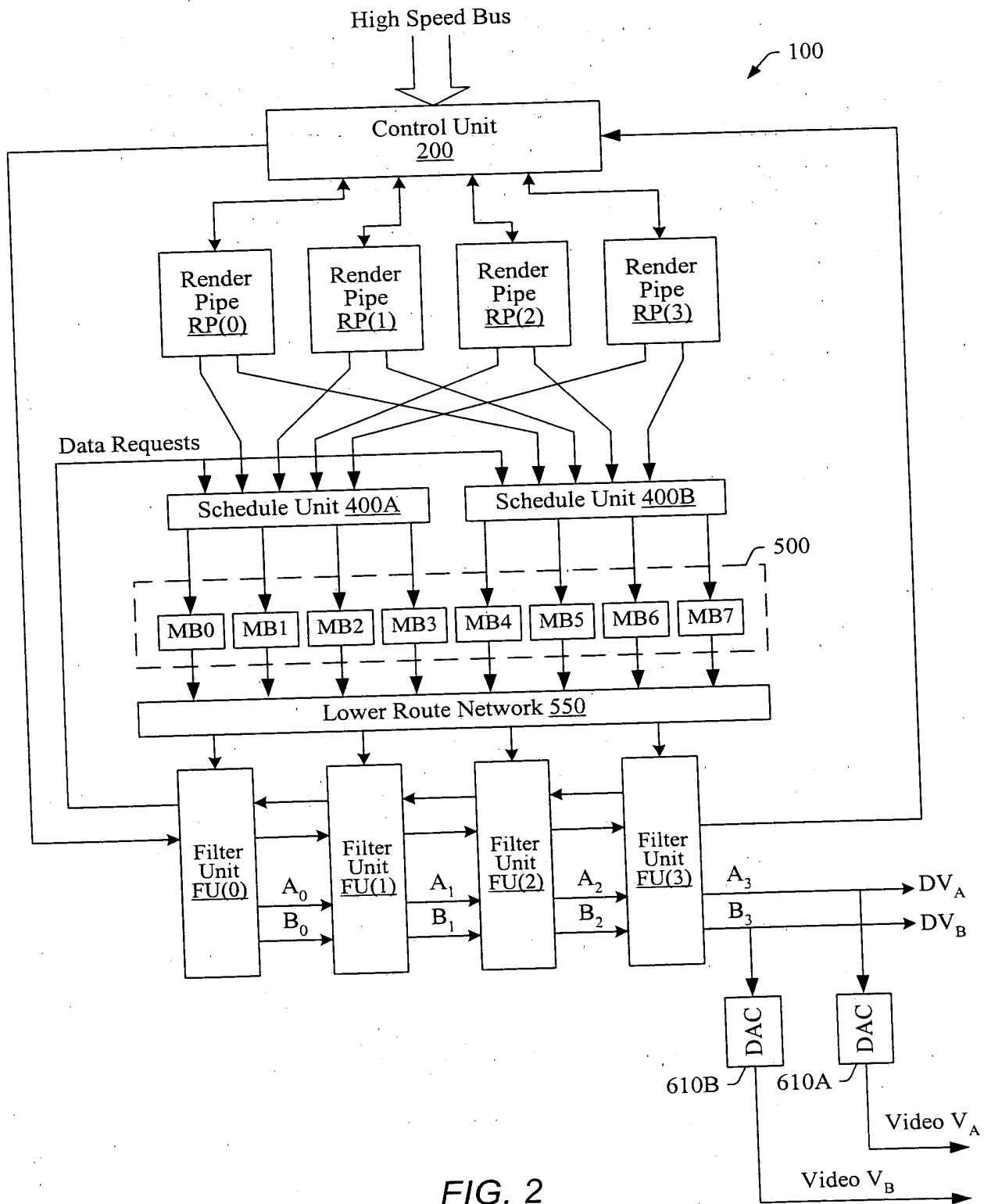


FIG. 2

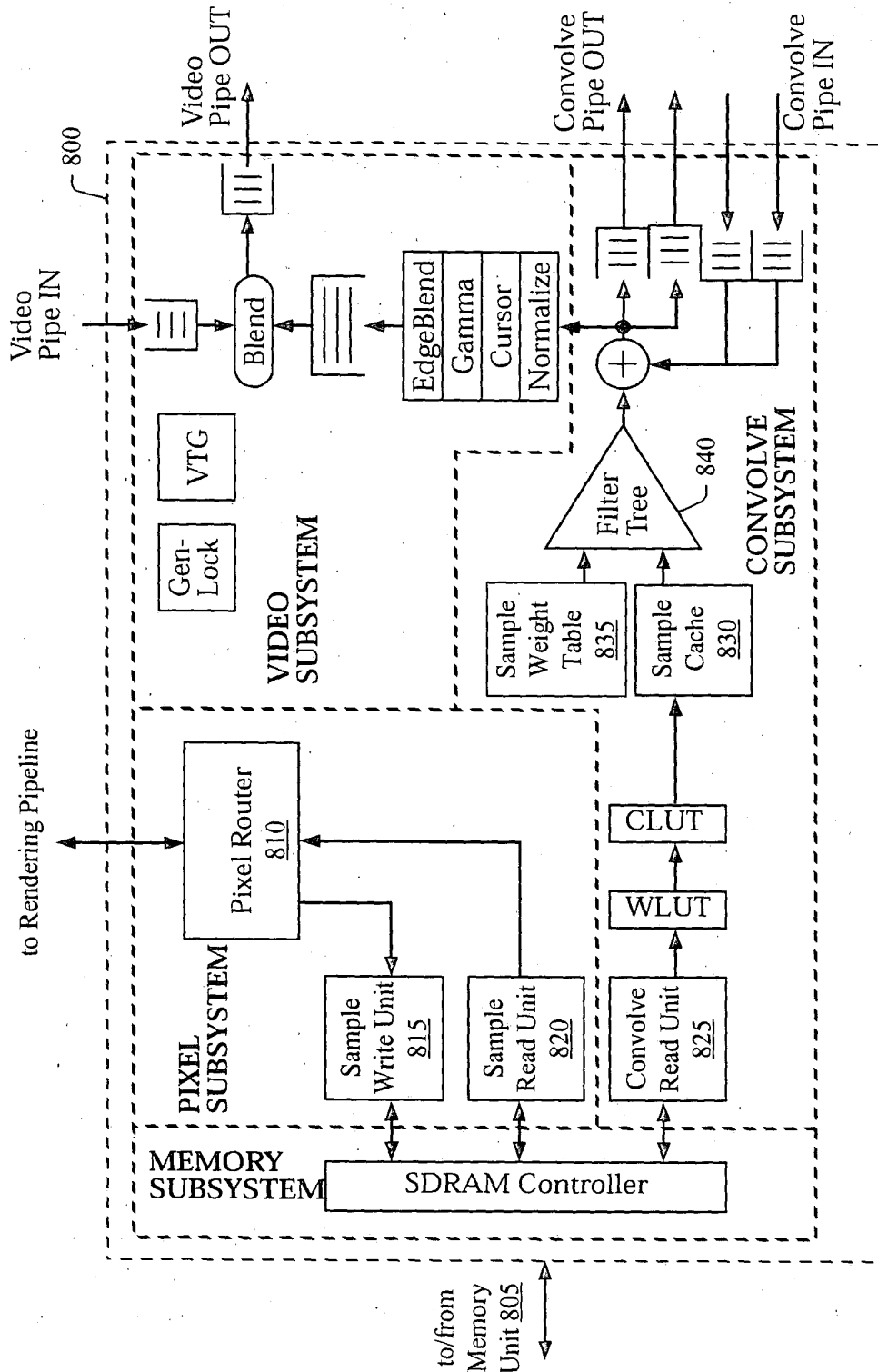


FIG. 3

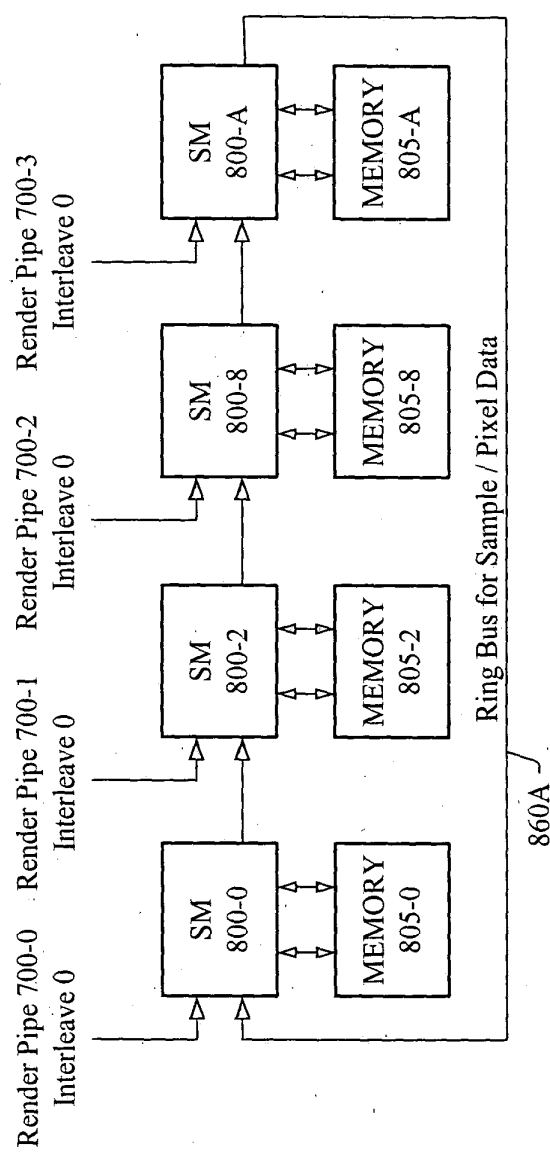


FIG. 4

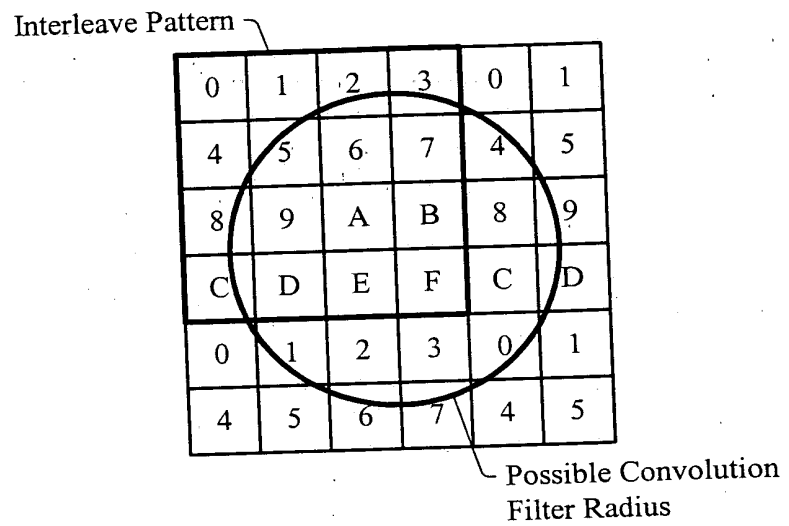
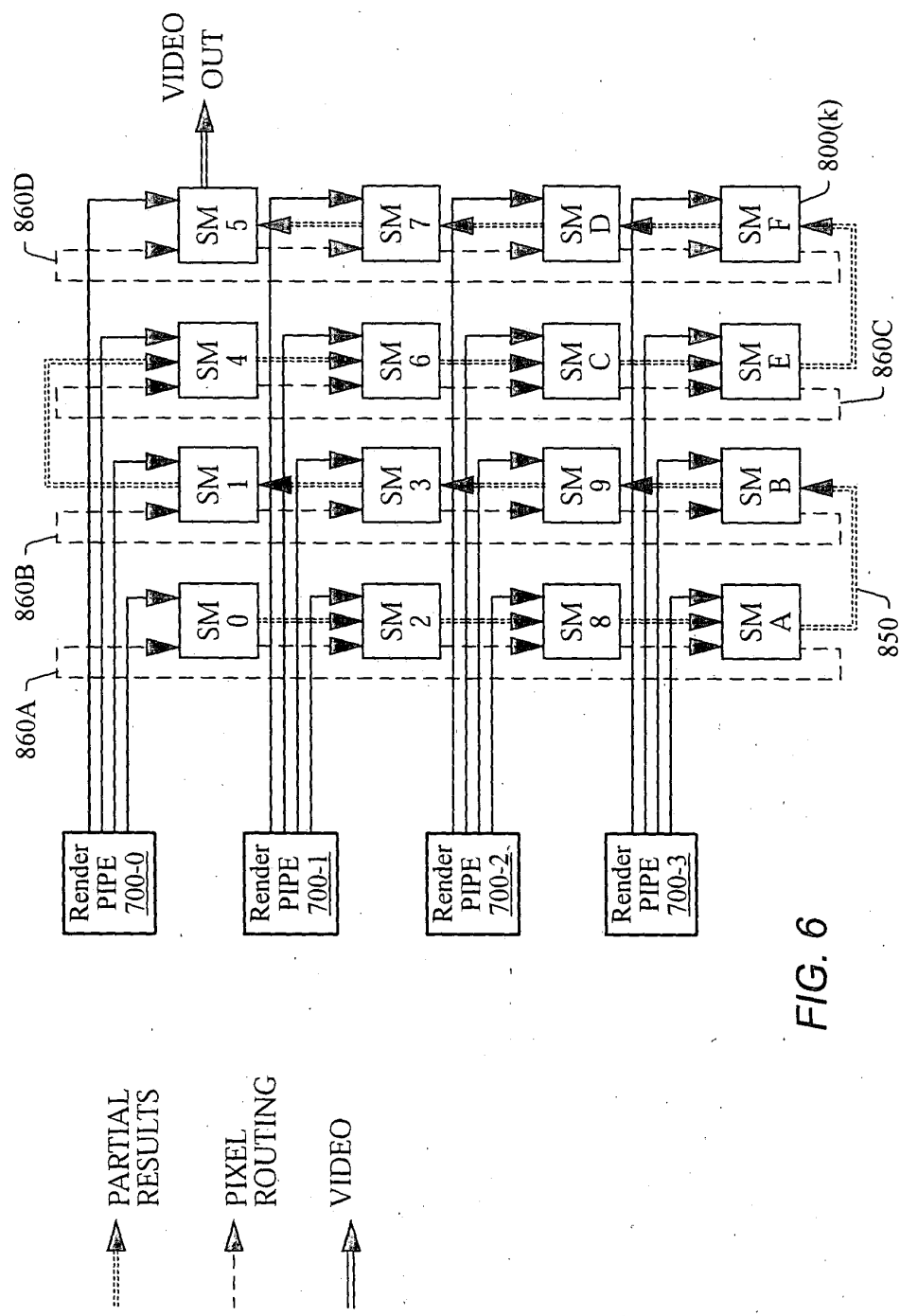


FIG. 5



Convolution Kernel

| | | | | | | | |
|---|---|---|---|---|---|---|---|
| 0 | 1 | 2 | 3 | 0 | 1 | 2 | 3 |
| 4 | 5 | 6 | 7 | 4 | 5 | 6 | 7 |
| 8 | 9 | A | B | 8 | 9 | A | B |
| C | D | E | F | C | D | E | F |
| 0 | 1 | 2 | 3 | 0 | 1 | 2 | 3 |
| 4 | 5 | 6 | 7 | 4 | 5 | 6 | 7 |
| 8 | 9 | A | B | 8 | 9 | A | B |
| C | D | E | F | C | D | E | F |

Interleave Pattern

FIG. 7

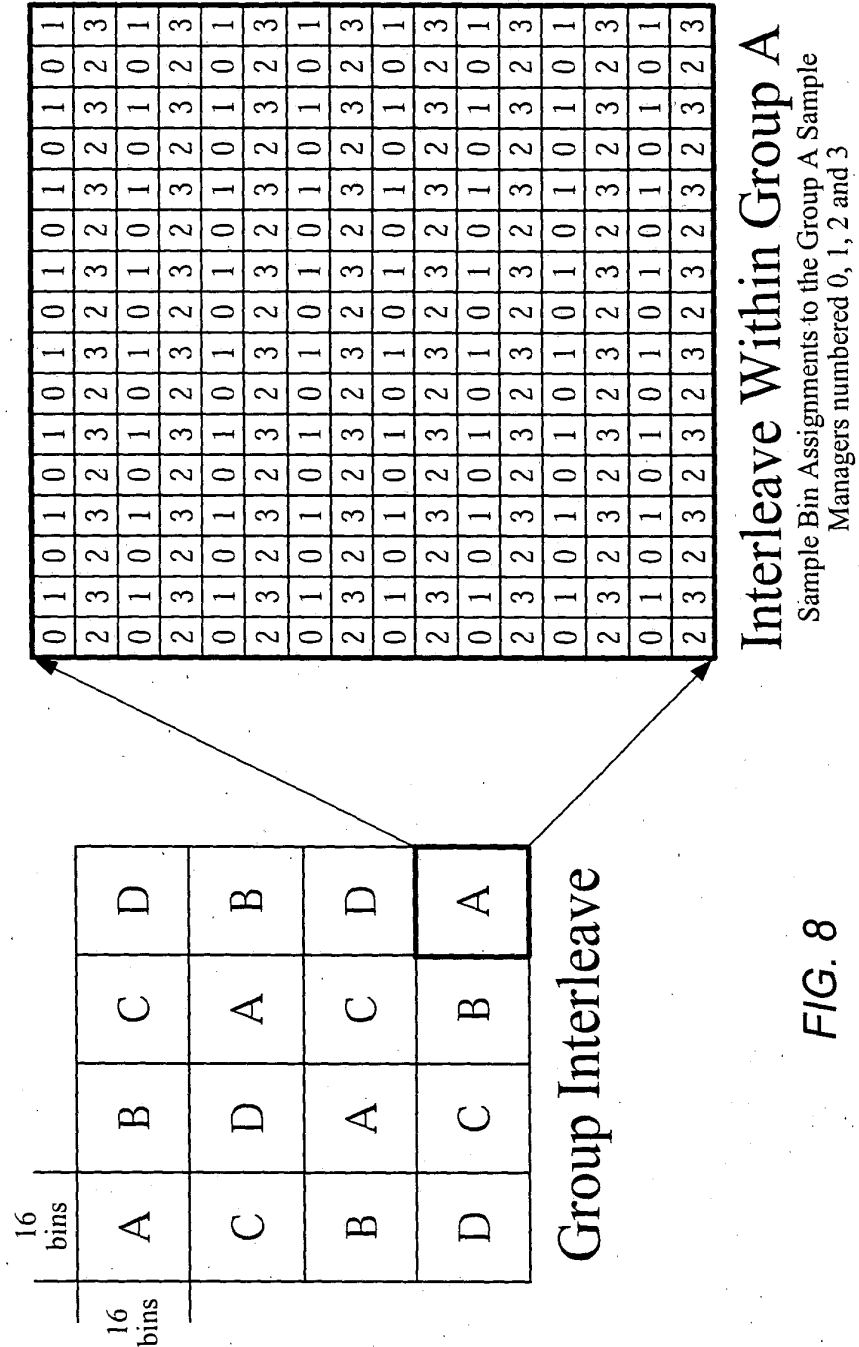


FIG. 8

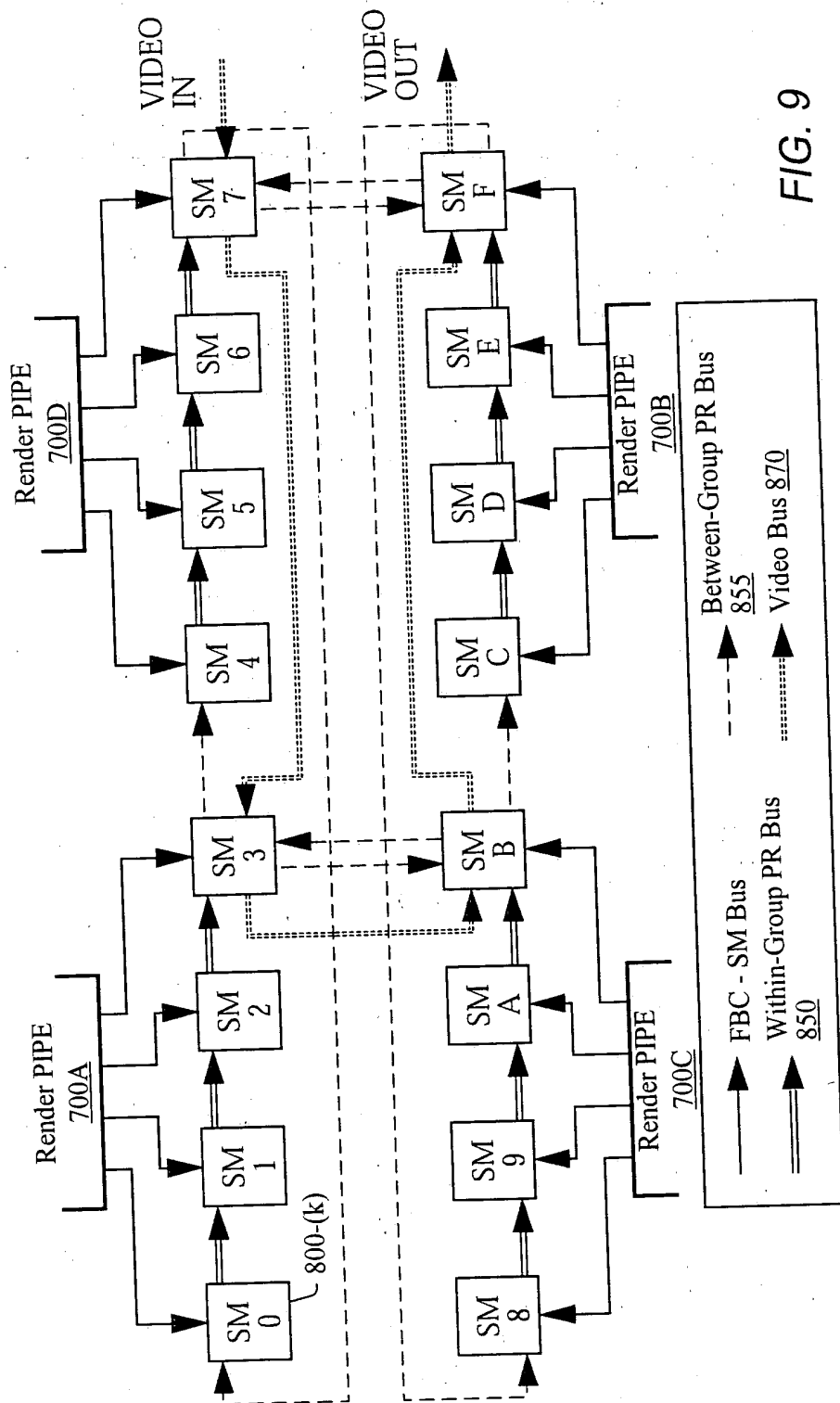
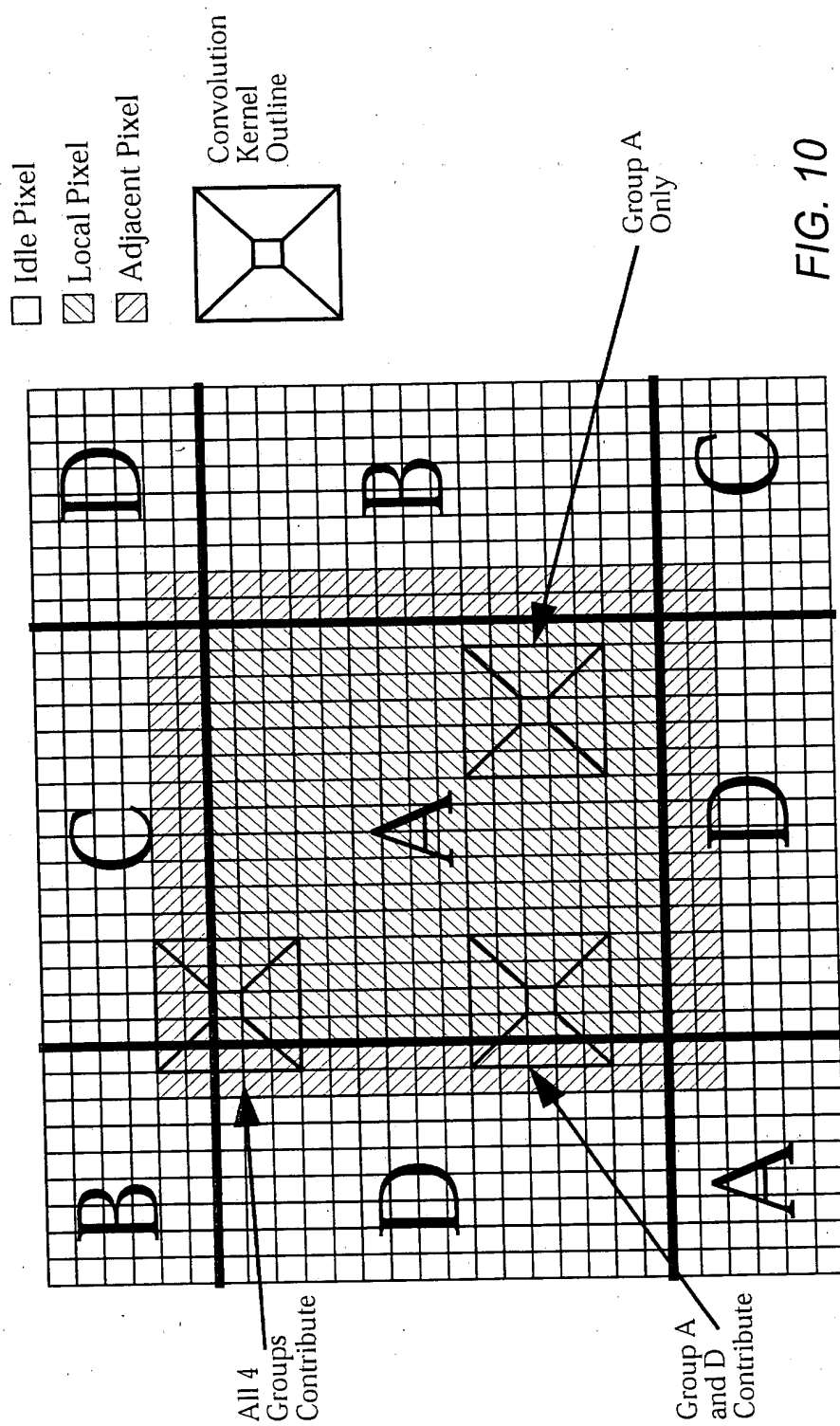


FIG. 9



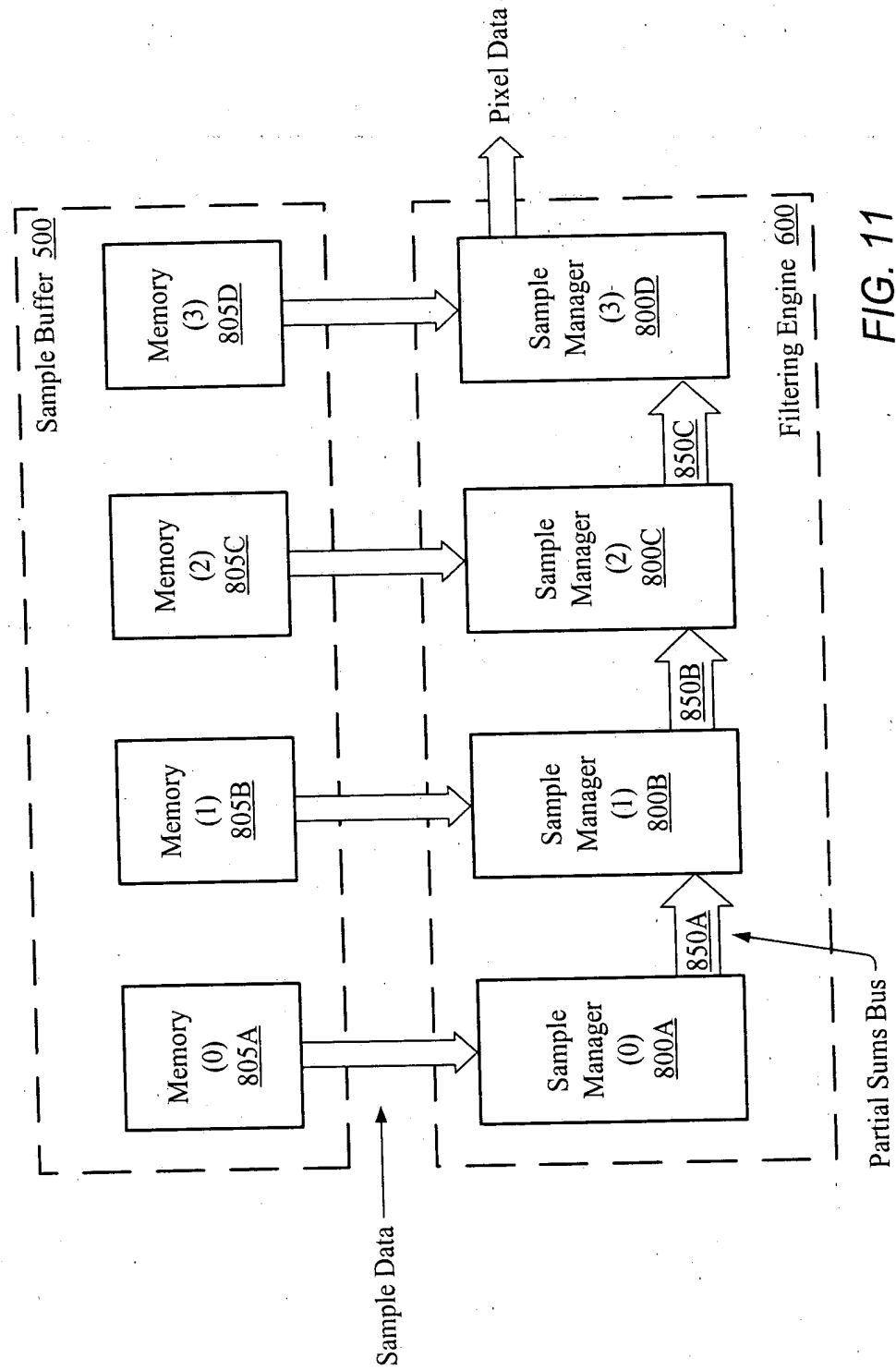


FIG. 11

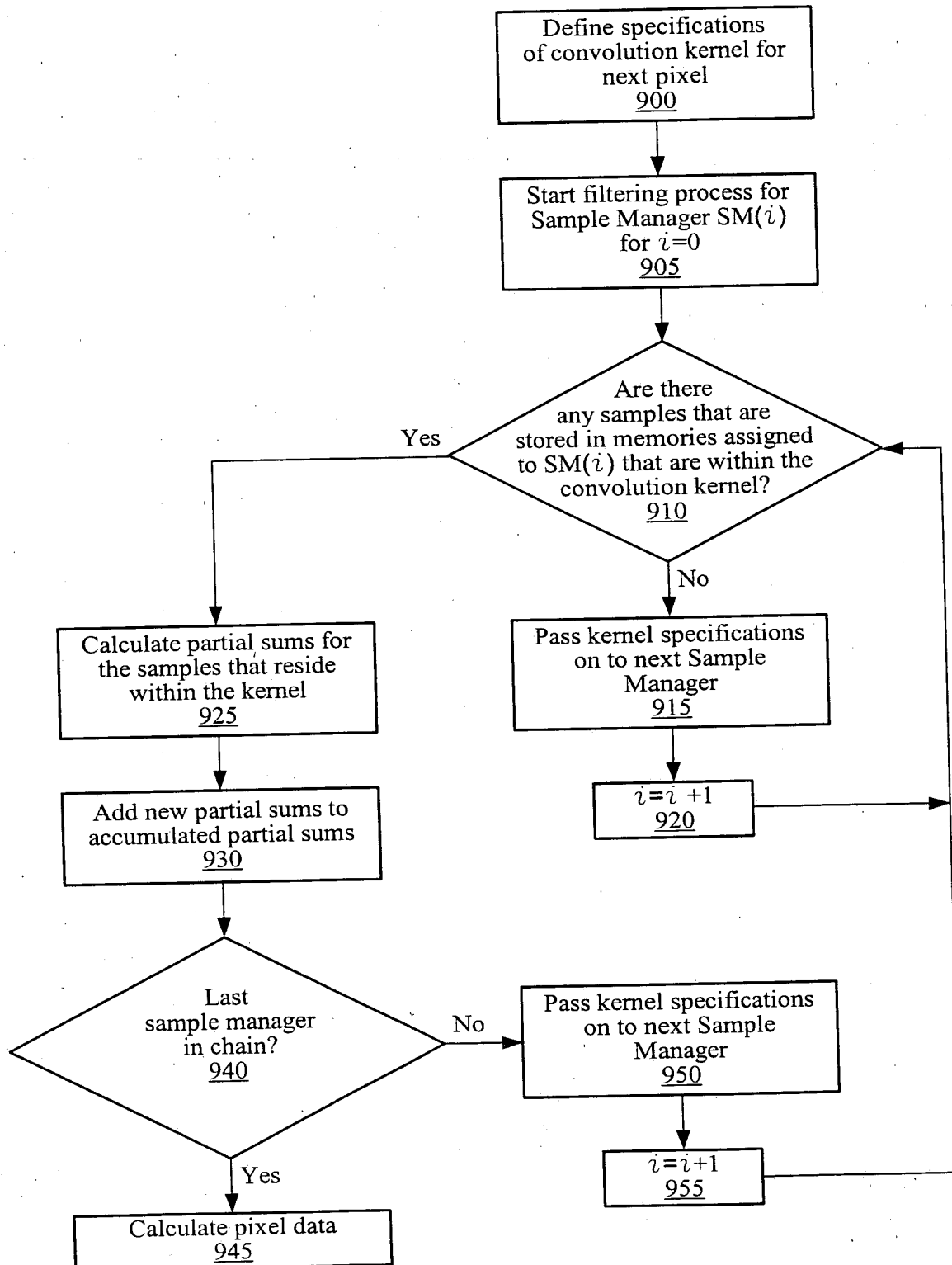
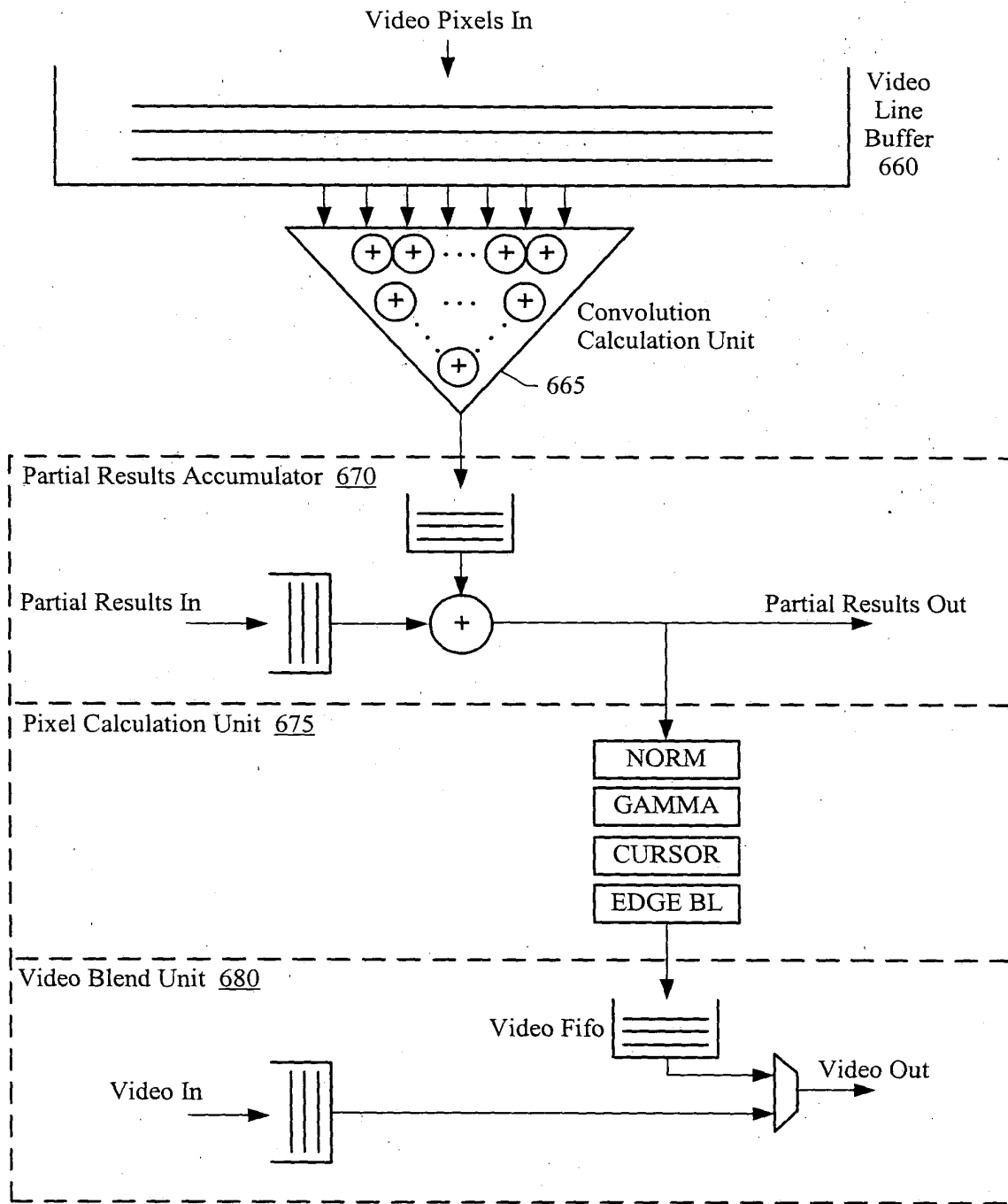


FIG. 12



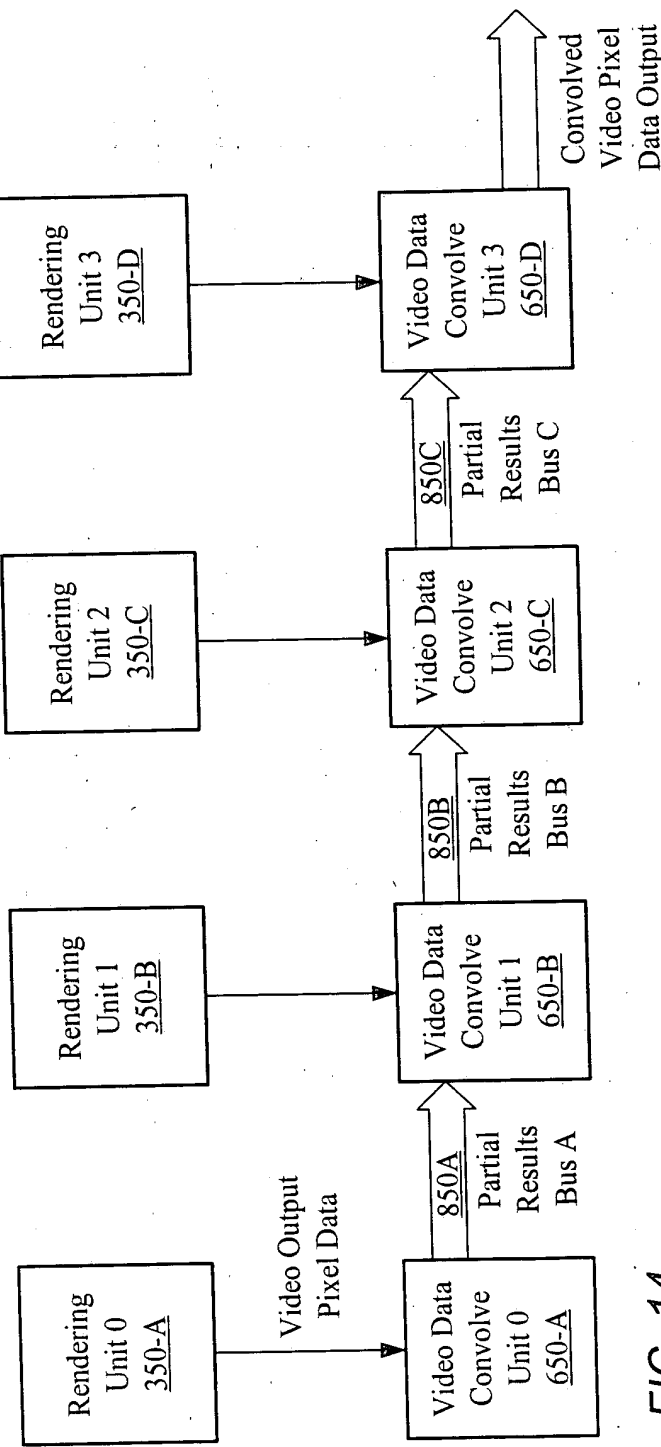


FIG. 14

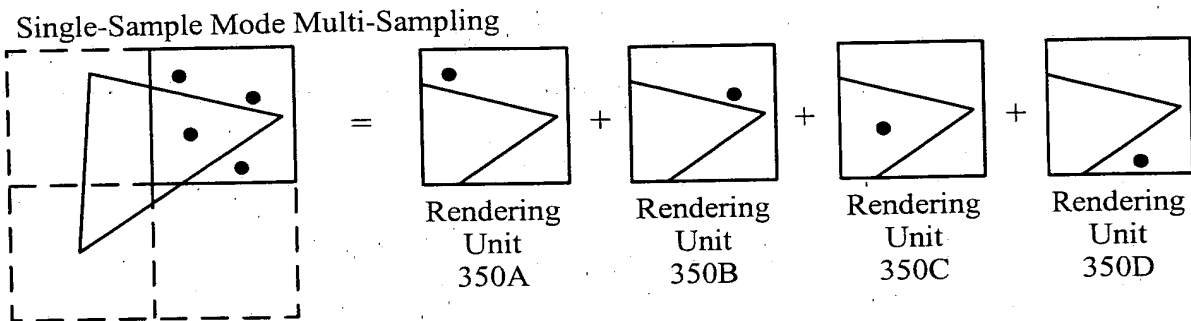


FIG. 15a

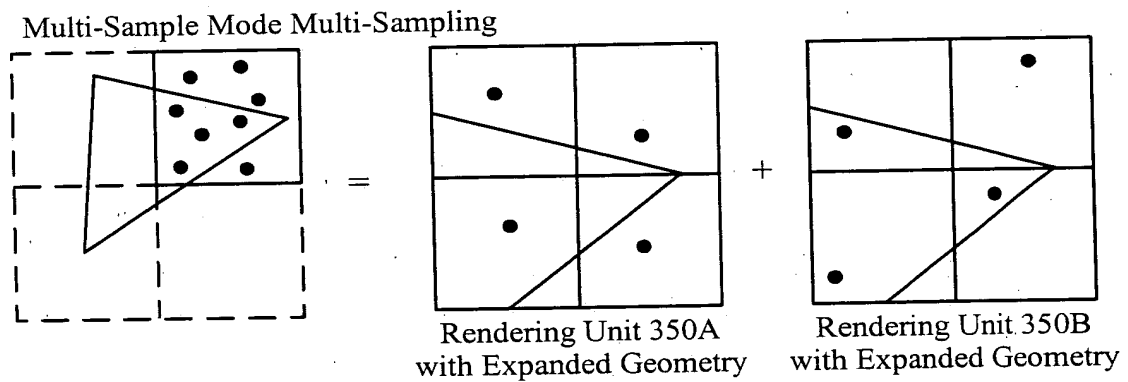


FIG. 15b

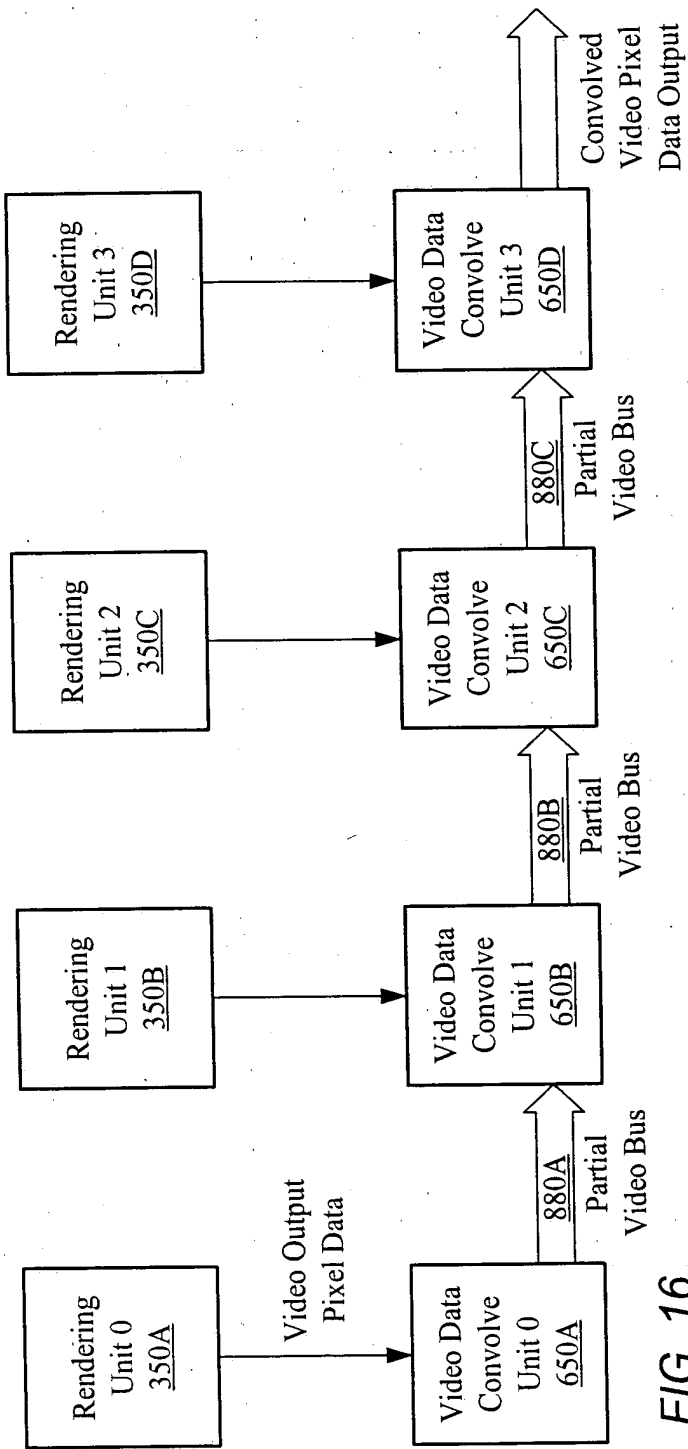


FIG. 16

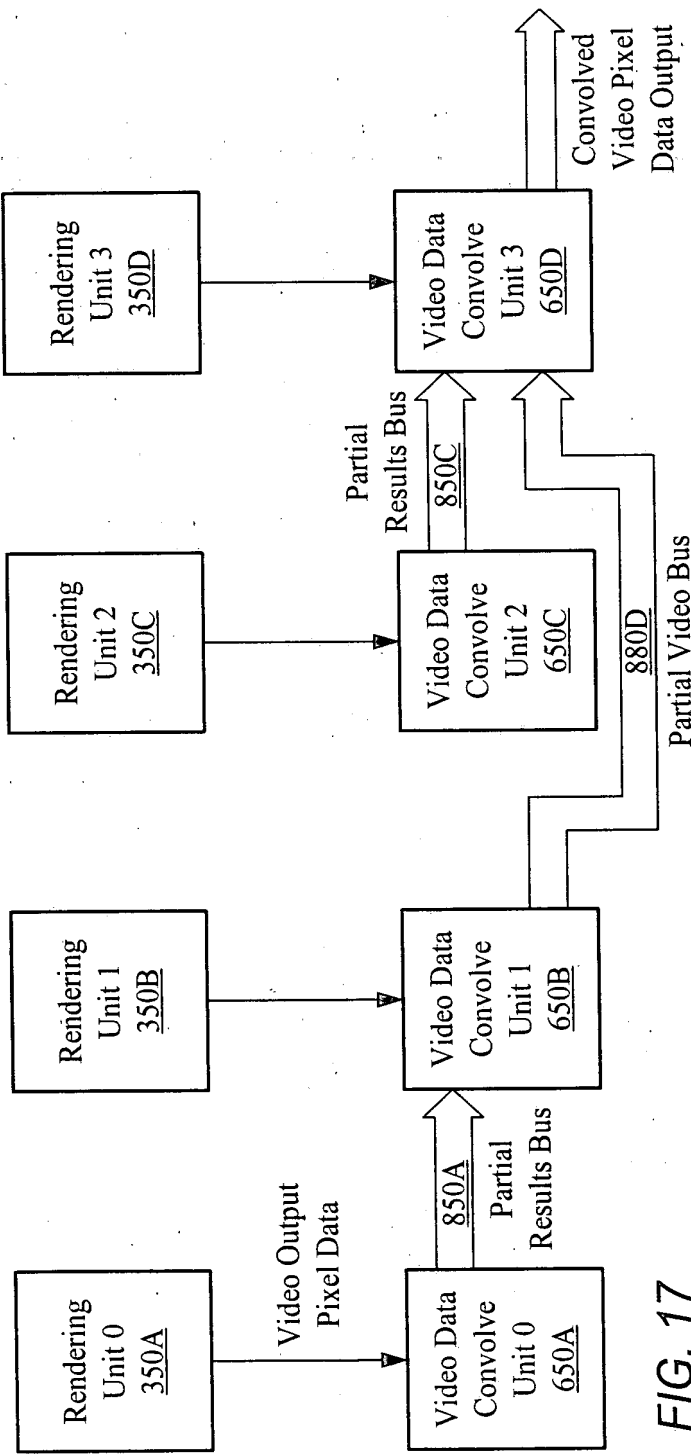


FIG. 17

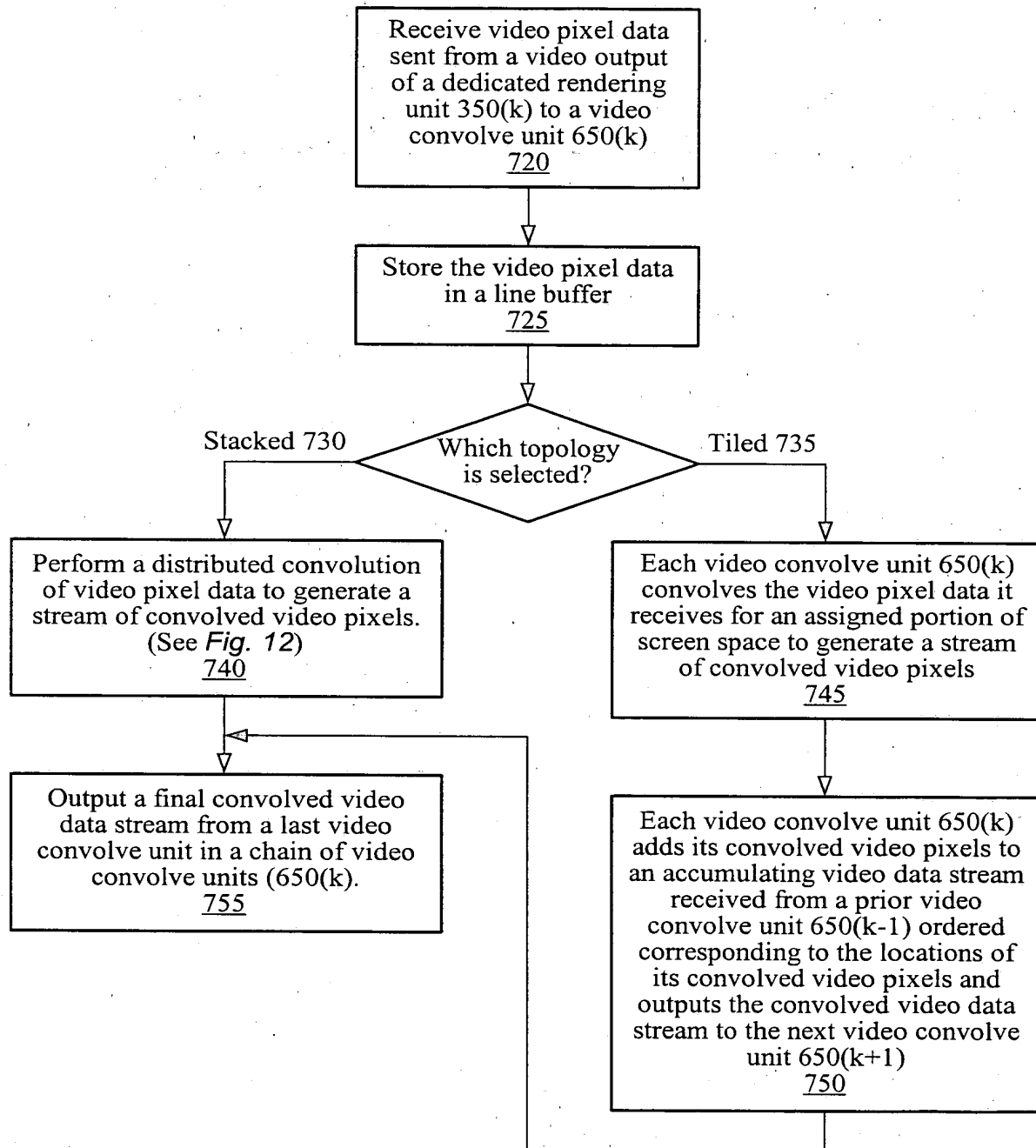


FIG. 18